

بررسی اثر پرتوهای لیزر هلیوم - نئون بر فرآیند ساخت کلاژن در سلولهای فیبروبلاست (تنوسیت) توسط میکروسکوپ الکترونی

محمد تقی قربانیان^{1*}، افسانه آذری^{2*}، احمد حسینی^{3*}، مجتبی رضازاده^{4*} Ph.D.

^{1*} دانشگاه علوم پایه دامغان

^{2*} جهاد دانشگاهی علوم پزشکی ایران، گروه پژوهشی فیزیوتراپی

^{3*} دانشگاه علوم پزشکی و خدمات درمانی شهید بهشتی

^{4*} جهاد دانشگاهی علوم پزشکی ایران، پژوهشکده رویان

✉ آدرس مکاتبه: تهران، صندوق پستی ۴۴۷-۱۶۳۱۵، گروه پژوهشی فیزیوتراپی جهاد دانشگاهی علوم پزشکی ایران

چکیده

هدف: بررسی اثر لیزر کم توان هلیوم نئون بر ساخت رشته‌های کلاژن توسط سلولهای فیبروبلاست در خلال ترمیم تاندون

مواد و روشها: تاندون آشیل پای راست ۱۲ سر خرگوش نر نژاد Dutch پس از بیهوشی از ۱/۵ سانتیمتری محل اتصال به استخوان کالکانئوس قطع شد. سپس تاندون قطع شده توسط نخ بخیه نایلون مونوفیلانمان ۴ صفر به روش زده Modified Kessler بخیه زده شد. حیوانات به صورت تصادفی در دو گروه آزمایش و کنترل قرار داده شدند. در گروه کنترل درمان معمولی انجام شد و در گروه آزمایش علاوه بر درمان مذکور، محل زخم نیز روزانه در معرض تابش پرتوهای لیزر کم توان هلیوم - نئون با طول موج ۶۳۲/۸ نانومتر و انرژی ۱۰ mJ/cm² قرار گرفت. پس از کشتن حیوانات در روزهای ۱۴ و ۲۱ نمونه‌ها برای مطالعه و بررسی توسط میکروسکوپ الکترونی پردازش شدند.

یافته‌ها: انرژی فوتونهای نور لیزر می‌تواند حالت ارتعاشی و شکل مولکولها را تغییر داده منجر به پاسخهای بیولوژیک گوناگون شوند. پرتوهای لیزر کم توان هلیوم نئون با داشتن آثار تحریکی فوتوبیولوژیک بر واکنشهای بیوشیمیایی مؤثر در فرآیند ساخت کلاژن موجب توسعه و گسترش قابل ملاحظه RER (Rough Endoplasmic Reticulum) می‌شود.

نتیجه‌گیری: با توجه به نتایج این بررسی می‌توان گفت که پرتوهای لیزر کم توان موجب تسریع فرآیند ساخت کلاژن و همچنین افزایش قطر فیبریلها می‌شود (P=0.043).

کل واژگان: سنتز کلاژن، لیزر، فیبروبلاست، تاندون

مقدمه

تاندونها که نیروی کششی عضلات را به استخوانها منتقل می‌نمایند جزء بافت همبند متراکم منظم محسوب می‌شوند. بعلت برتری رشته‌های همبندی (کلاژن) بر جزء سلولی و ساده زمینه، تاندون به‌عنوان متراکم‌ترین بافت همبند رشته‌ای شناخته می‌شود (۱، ۲).

رشته‌های کلاژن یا دسته‌های تاندونی اولیه از تعداد فراوان فیبریل ساخته می‌شوند. در برشهای عرضی فیبریل‌های کلاژن از نظر قطر به دو یا سه گروه با قطر ۶۰ نانومتر یا ۱۷۵ نانومتر و بیشتر تقسیم می‌شوند. فراوانترین سلول موجود، فیبروبلاست یا سلولی تاندونی (تنوسیت) است که در برشهای طولی به صورت موازی مابین نوارهای کلاژن فرار گرفته‌اند. هر یک از دستجات تاندونی اولیه توسط مقدار کمی بافت همبند سست به نام اندوتندینیوم^۱ پوشیده می‌شود. سپس چندین دسته تاندونی اولیه به همراه سلولهای فیبروبلاست با بافت همبند متراکمتری به نام پری‌تندینیوم^۲ پوشیده می‌شود که اصطلاحاً به آن دستجات ثانویه یا فاسیکل^۳ می‌گویند. تاندونی که از چندین دسته ثانویه یا فاسیکل تشکیل شده از بیرون توسط بافت همبند ضخیمی به نام اپی‌تندینیوم^۴ احاطه می‌شود (۱، ۲، ۳، ۴، ۵).

تاندونها به‌دنبال وارد آمدن صدمات و ضربات مختلف به اندامهای حرکتی دچار آسیب می‌شوند. از عواملی که باعث آسیب به تاندون می‌شوند، می‌توان به نیروهای مکانیکی، صدمات خفیف و متوالی و اختلالات خون‌رسانی و تغذیه‌ای اشاره کرد. به‌علت فعالیت متابولیکی ناچیز در تاندون و همچنین کم بودن عروق تغذیه‌کننده، التیام جراحات در این ساختمان به‌کندی پیش می‌رود. انتخاب تکنیک درمانی باپس‌نی بر مبنای آگاهی کامل از اصول اساسی مراحل التیام و نیز شرایط بیومکانیکی خاص این بافت باشد (۳، ۶، ۷).

Enwemeka, Yamada, Abergel Mester و Kana تحقیقاتی در خصوص تأثیر بیواستیمولاتوری و فوتواستیمولاتوری پرتوهای لیزر بر روی ترمیم پوست، تاندون و شکستگی استخوان انجام داده‌اند. مطالعات در *in vivo* و *in vitro* نشان داده است که تأثیر پرتوهای لیزر بر ترمیم بافت همبند به موجب افزایش فیروپلازیا و ساخت کلاژن، تکثیر سلولها، کاهش پاسخهای ایمنی با دخالت پروستاگلاندینها، نوزایی عروق و افزایش جریان خون و افزایش فعالیت سلولها در جهت ساخت ATP صورت پذیرفته است (۸، ۹، ۱۰، ۱۱، ۱۲، ۱۳، ۱۴، ۱۵).

Enwemeka از محققینی است که در مورد ترمیم تاندون به صورت طبیعی و همچنین با استفاده از روشهای درمانی بیوفیزیک، سلسله پژوهشهای متوالی را انجام داده است. این محقق در سال ۱۹۹۲، اثر پرتوهای لیزر هلیوم - نئون با طول موج ۶۳۲/۸ نانومتر و دانسیته ۵ mJ/cm² و ۱ mJ/cm² بر وضعیت فراساختاری سلولهای فیبروبلاست تاندون در حال ترمیم آزمایش نمود (۹). این تحقیق در نظر دارد با توجه به سرعت کند التیام تاندون و نقش لیزر در پدیده ترمیم، تأثیر این روش را از نظر سلولی مورد بررسی قرار دهد.

مواد و روشها

در تحقیق حاضر از ۱۲ سر خرگوش نر نژاد Dutch سفید که در

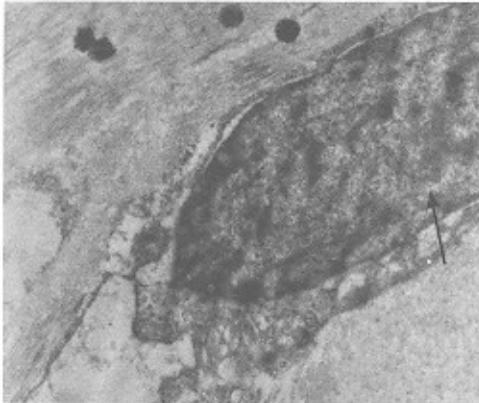
هنگام جراحی ۴ تا ۶ ماه سن و ۱۸۰۰ تا ۲۵۰۰ گرم وزن داشتند، استفاده شد. حیوانات روز پیش از عمل وزن شدند و سوزی پای راست آنها در موضع موردنظر به‌وسیله تیغ تراشیده شد. سپس با استفاده از بستادین موضع ضدعفونی شد. تزریق داخل‌عضلاتی penicillin G plus procaine 800000u به میزان ۴۰۰۰۰ واحد برای هر کیلوگرم وزن بدن یک روز قبل از عمل تا یک روز بعد از عمل انجام شد. بیهوشی توسط ترکیبی از داروهای پنتازوسین به میزان ۴/۵ میلی‌گرم دیازپام به میزان ۴/۵ میلی‌گرم و کتامین هیدروکلراید به میزان ۵۰ میلی‌گرم به ازای هر کیلوگرم وزن بدن صورت گرفت. پس از بیهوش شدن، حیوان از طرف شکم بر روی تخت جراحی خوابانده و بعد از عمل drep 4prep جراحی تحت شرایط استریل آغاز شد.

ابتدا برشی به طول ۳ سانتی‌متر در قسمت خارج تاندون آشیل به‌وسیله تیغ اسکالپل بر روی پوست داده شد و سپس تاندون با دقت از بافت‌های اطراف یعنی پوست و قاشیای عصبی جدا و از وسط قطع شد. دو طرف تاندون قطع شده به روش Modified Kessler با نخ ناپلون مونوفیلانمان ۴ صفر به یکدیگر دوخته شد. سپس موضع عمل به کمک ترمال سالین شستشو و بعد از آن پوست به‌روش بخیه پیوسته به‌وسیله نخ سیلک ۳ صفر SUPA بخیه شد. پس از دوخت تاندون اقدام تحتانی حیوان در وضعیت فلکشن^۵ ۹۰° زانو و اکستنشن کامل مچ پا با بانداز به آتل ثابت شد تا از فشار و کشش احتمالی به محل بخیه جلوگیری بعمل آید. محل عمل هر روز با بتادین و الکل^۶ ۷۰٪ ضدعفونی گشته و پانسمان آن تعویض شد. حیوانات گروه آزمایش علاوه بر درمان معمولی، روزانه در معرض تابش پرتوهای لیزر هلیوم - نئون با طول موج ۶۳۲/۸ نانومتر و انرژی ۱۰ mJ/cm² قرار گرفتند. خرگوشها پس از گذشت زمان مقرر به‌وسیله تزریق داخل عضلاتی کتامین هیدروکلراید و استنشاق اتر کشته شدند. تاندون جدا شده و برای تهیه مقاطع میکروسکوپ الکترونی نمونه‌های به ابعاد یک میلی‌متر در گلوتارآلدئید^۷ ۴ درصد قرار داده شدند. نمونه‌های میکروسکوپ الکترونی به مدت ۳ تا ۴ ساعت در دمای آزمایشگاهی داخل فیکسایون گلوتارآلدئید ۴ درصد در بافر کاکودیلیت و مدت ۲ ساعت در محلول یک درصد اسیموم تتراکسید به‌عنوان Post Fixation قرار داده شدند. سپس مراحل آبیگری را در الکل اتانل با درجات صعودی و مرحله خشک کردن یا شفاف کردن را در پروپیلن اکساید به مدت ۳۰ دقیقه گذراندند. برای نفوذ نمونه‌ها به ترتیب ۳ تا ۵ ساعت در محلول ۹۰ درصد پروپیلن اکساید و ۱۰ درصد رزین، ۱۲ تا ۱۵ ساعت در محلول حاوی ۵۰ درصد پروپیلن اکساید و ۵۰ درصد رزین ۵ تا ۸ ساعت در محلول ۱۰ درصد پروپیلن اکساید و ۹۰ درصد رزین و در نهایت به مدت ۲۴ ساعت در محلول صددرصد رزین قرار داده شدند. در مرحله بعدی نمونه‌ها در قالبهای پلاستیکی قرار داده شد و

1. Endotendineum
2. Pretendineum
3. Facicle
4. Epithendineum

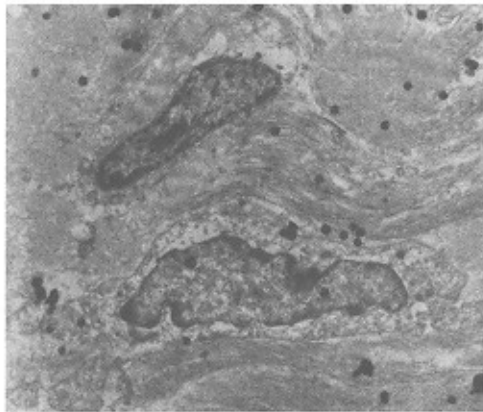


یوکروماتین آن در وسط به صورت وزیکولر دیده می شود و نواحی هتروکروماتین بیشتر در زیر پوشش هسته متمرکز شده است. شبکه آندوپلاسمیک خشن در حال توسعه و تشکیل یک شبکه لوله مانند بوده و با غشای هسته در ارتباط است و میتوکندریها به صورت کروی در داخل سیتوپلاسم پراکنده است. فیبریلهای کلانژن به وضوح به شکلهای عرضی و طولی به اندازه های مختلف و همچنین با جهت گیری نامشخص و پراکنده مشاهده می شوند (شکلهای ۱ و ۲).



شکل ۱: نمونه کنترل روز ۱۲، میکروگراف الکترونی از هسته سلول فیبروبلاست (پیکان) به همراه سیتوپلاسم و فیبریلهای کلانژن به صورت عرضی و طولی در ماده زمینه خارج سلولی (بزرگنمایی: ۱۰۰۰۰×)

۱۴۹



شکل ۲: نمونه لیزر روز ۱۴، میکروگراف الکترونی از هسته دو سلول فیبروبلاست (پیکان) به همراه سیتوپلاسم و فیبریلهای کلانژن به صورت عرضی و طولی در ماده زمینه خارج سلولی (بزرگنمایی: ۱۰۰۰۰×)

مشاهدات روز بیست و یکم گروه کنترل نشان می دهد که هسته فیبروبلاستها با نمای یوکروماتین و هسته بزرگ مشاهده می شود و بخش هتروکروماتین بیشتر در ناحیه زیر غشا قرار دارد. استتاله های سلول به وضوح در تقسیم بندی نوارهای فیبریل کلانژن شرکت می کند و سیتوپلاسم با شبکه آندوپلاسمیک خشن، دستگاه گلژی، میتوکندری به همراه واکوئولهای ترشحی که در حال ترشح به خارج سلول هستند دیده می شود (شکلهای ۳ و ۴).

توسط رزین پر شد و به مدت ۹۶ ساعت در آن ۶۰ سانتیگراد قرار داده شد. سپس مقاطع ضخیم (۱۲-۵/۰) و متعاقب آن مقاطع نازک ۴۰۰ تا ۵۰۰ آنگسترومی تهیه شد. برشهای مناسب پس از قرار گرفتن بر روی گرید مسی برای رنگ آمیزی به مدت ۱۵ تا ۲۰ دقیقه در معرض یورانیل استات و مدت ۱۰ دقیقه در معرض سترات سرب قرار گرفتند. مقاطع توسط میکروسکوپ الکترونی انتقالی فیلیپس مدل ۴۰۰ در ۱۰۰ کیلو ولت مطالعه شدند. برای اندازه گیری قطر فیبریلهای کلانژن در میکروگرافهای الکترونی از فرمول زیر استفاده گردید:

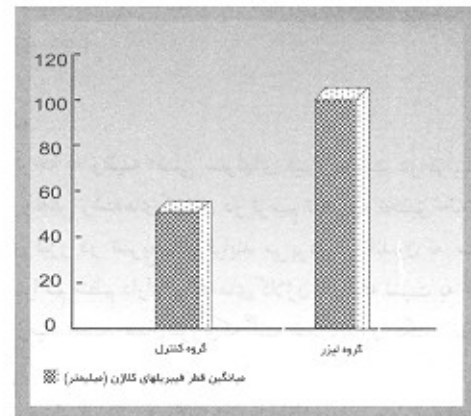
$$\text{قطر فیبریلها به نانومتر} = 1000000 \times \text{قطر فیبریل به میلی متر}$$

بزرگنمایی میکروگراف

برای تجزیه تحلیل اطلاعات و رسم نمودارها از نرم افزار آماری FOXGRAPH و SPSS نسخه ۵ و از آزمونهای آماری Mann Whitney U test, student t-test استفاده شد.

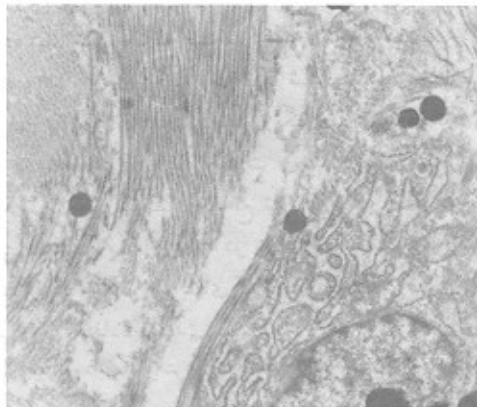
یافته ها

مشاهدات روز چهاردهم گروه کنترل نشان می دهد که سلولهای فیبروبلاست تکثیر یافته و به همراه فیبریلهای کلانژن در بافت ناحیه زخم پراکنده هستند. سلولهای فیبروبلاست دارای سیتوپلاسمی وسیع حاوی میتوکندری، شبکه آندوپلاسمیک خشن پراکنده به همراه واکوئولهای ترشحی و دستگاه گلژی است. فیبریلهای کلانژن به صورت رشته های طولی و مقاطع عرضی در اندازه های کوچک و بزرگ به صورت پراکنده در جهات مختلف دیده می شوند (نمودار ۱).

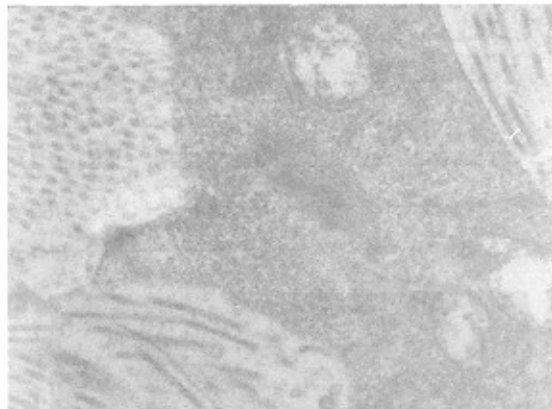


نمودار ۱: میانگین قطر فیبریلهای کلانژن روز ۲۱ در گروه کنترل و آزمایش

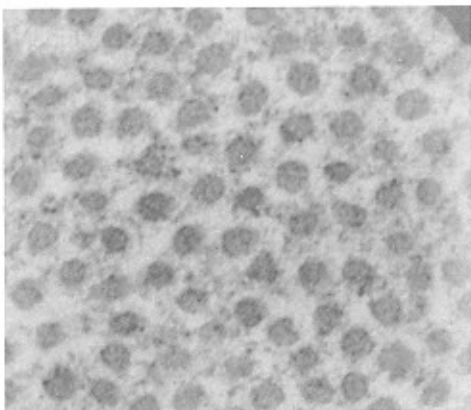
مشاهدات روز چهاردهم گروه لیزر نشان می دهد که سلولهای فیبروبلاست ناحیه زخم، ضمن اینکه از لحاظ تعداد نسبت به گروه کنترل برتری دارد، مورفولوژی سلولها حاکی از فعالیت زیاد و سنتز ماتریکس خارج سلولی است. در میکروگرافهای الکترونی، سلولهای فیبروبلاست به صورت سلول دوکی کشیده یا سیتوپلاسم وسیع استتاله های سلولی مشخص تر از گروه کنترل با هسته میله ای شکل دیده می شود. هسته فیبروبلاست اندازه ای بزرگ داشته و بخش



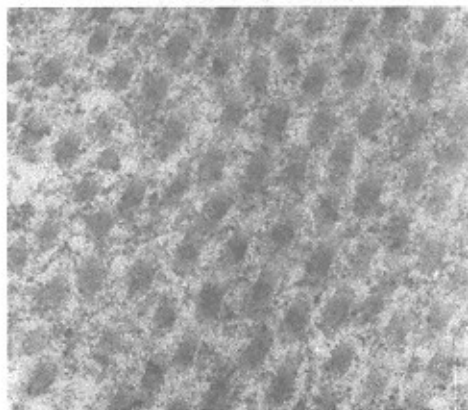
شکل ۵: نمونه لیزر روز ۲۱: میکروگراف الکترونی از هسته سلول فیبروبلاست در گوشه شکل با سیتوپلاسم سرشار از شبکه آندوپلاسمیک خشن (بزرگنمایی: ۳۵۰۰×)



شکل ۳: نمونه کنترل روز ۲۱: میکروگراف الکترونی از سیتوپلاسم سلول فیبروبلاست با واکوئلهای ترشحی و فیبریلهای کلاژن (بزرگنمایی: ۱۶۰۰۰×)



شکل ۴: نمونه لیزر روز ۲۱: میکروگراف الکترونی از مقاطع عرضی فیبریلهای کلاژن (بزرگنمایی: ۴۴۵۰×)



شکل ۲: نمونه کنترل روز ۲۱: میکروگراف الکترونی از مقاطع عرضی فیبریلهای کلاژن (بزرگنمایی: ۴۴۵۰×)



بحث

با توجه به وظیفه اصلی سلولهای فیبروبلاست در فرایند ساخت کلاژن و نقش رشته‌های کلاژن در ترمیم تاندون، تحقیق حاضر به تأثیر پرتوهای لیزر در تسریع این فرایند می‌پردازد. تاندون به عنوان بافت همبند متراکم منظم دارای رشته‌های کلاژن برجسته نسبت به جزء سلولی و ماده زمینه است. همان‌طوری‌که گفته شد تاندون یک بافت نسبتاً کم خون بوده و از طرفی رشته‌های کلاژن موجود در آن به کندی تجدید و نوسازی می‌شوند (۱، ۲، ۴)؛ بدین لحاظ و با توجه به روند کند التیام جراحی در این ساختمان، برای التیام تاندون آسیب جراحی شده، ۶ تا ۸ هفته بی‌حرکتی توصیه می‌شود. بنابراین طولانی شدن بی‌حرکتی به علت سرعت کند التیام موجب شده که امکان استفاده از عوامل فیزیکی (امواج اولتراسوند، جریان الکتریسیته و پرتوی لیزر) و روشهای درمانی برای افزایش سرعت ترمیم تاندون فراهم شود (۷).

اثر پرتوهای لیزر به طول موج، دوز و شدت انرژی پرتوها بستگی دارد (۱۰، ۱۶، ۱۷). پیرسون آثار لیزرهای کم‌توان بر ترمیم تاندون تحقیقات معدودی انجام شده است، Enwemeka محقق است که

مشاهدات روز بیست و یکم در گروه لیزر نشان می‌دهد که سیتوپلاسم سلولهای فیبروبلاست با استئاله‌های فراوان، منشعب و حجم وسیع‌تر نسبت به گروه کنترل در دست‌بندی نوارهای کلاژن دخالت می‌کنند. سیتوپلاسم وسیع فیبروبلاست کاملاً توسط شبکه لوله مانند آندوپلاسمیک خشن با ریبوزومهای فراوان و مشخص به همراه وزیکولهای ترشحی بسیار فرا گرفته شده است. شبکه آندوپلاسمیک خشن که قسمت اعظم سیتوپلاسم را اشغال می‌کند، دارای سبسترهای پهن است که محتویات آن در زیر میکروسکوپ به صورت گرانولر دیده می‌شود. هسته سلول بزرگ و کشیده که در برخی موارد دارای حاشیه کنگره‌دار است، به صورت کاملاً بی‌کروماتین دیده می‌شود. میدانهای خارج سلولی حاوی فیبریلهای کلاژن بیش از گروه کنترل مشاهده می‌شود.

فیبریلهای با نواربندی تیره و روشن متناوب مشخص در هر باندل یا دسته دارای قطر و تراکم بیشتری نسبت به گروه کنترل هستند (شکلهای ۵ و ۶).



استطاله‌های طویل فراوان در دسته‌بندی نوارهای کلاژن ترشح شده، فعالیت بیشتری را از خود نشان می‌دهند. آنچه به‌خوبی فعالیت بیشتر ساخت و ترشح فیبریل‌های کلاژن را در گروه لیزر نسبت به کنترل بروز می‌دهد، فراوانی شبکه لوله‌ای به هم پیوسته RER با میسرنای وسیع و فراوان موجود در سیتوپلاسم سلولهای فیبروبلاست گروه لیزر است.

در تحقیق حاضر تأثیر مثبت پرتوهای لیزر کم‌توان هلیوم - نئون با طول موج ۶۳۲/۸ نانومتر و دانسیته انرژی 10 mJ/cm^2 بر تکثیر سلولهای فیبروبلاست و ساخت کلاژن و افزایش قطر فیبریلها نشان داده شده است. با توجه به نتایج به‌دست آمده در این تحقیق و چگونگی فرآیند ساخت کلاژن دخالت شبکه آندوپلاسمیک خشن (RER) در تولید پروکلاژن ثابت شده است. توسعه و گسترش قابل ملاحظه RER در میکروگرافهای الکترونی گروه تحت درمان با لیزر چگونگی بالا رفتن ساخت فیبریل‌های کلاژن و همچنین افزایش قطر آنها را که از لحاظ آماری معنی‌دار بوده است را توجیه می‌کند (۱۸، ۱۹، ۲۰).

همان‌طوری‌که قبلاً اشاره شد اثرهای فوتوبیولوژیک پرتوهای لیزر کم‌توان در سطح سلولی با جذب فوتونها توسط مولکولها آغاز می‌شود. انرژی فوتونهای نور لیزر می‌تواند حالت ارتعاشی و شکل مولکولها را تغییر داده منجر به پاسخهای بیولوژیک گوناگون شود (۲۱). بدین ترتیب می‌توان نتیجه‌گیری کرد که پرتوهای لیزر کم‌توان هلیوم - نئون با داشتن آثار تحریکی فوتوبیولوژیک بر واکنشهای بیوشیمیایی مؤثر در فرآیند ساخت کلاژن موجب توسعه و گسترش قابل ملاحظه RER و همچنین افزایش قطر فیبریل‌های کلاژن می‌شوند.

تقدیر و تشکر

مقاله حاضر، طرح تحقیقاتی مصوب گروه پژوهشی فیزیوتراپی جهاد دانشگاهی علوم پزشکی ایران به شماره ۱۱-۳۸۰ است؛ لذا نویسندگان بدینوسیله مراتب تقدیر و تشکر خود را از این مرکز به‌دلیل در اختیار قرار دادن بودجه و فضای آزمایشگاهی، همکاریهای دانشگاه علوم پایه دامغان، گروه علوم تشریح دانشکده پزشکی تربیت مدرس و مدیریت و کارشناسان محترم بخش میکروسکوپ الکترونی مؤسسه واکسن و سرم سازی رازی به‌دلیل راهنمایی در انجام مطالعات میکروسکوپی ابراز می‌دارند.

درباره روند طبیعی ترمیم ناندون و عوامل فیزیکی مؤثر بر آن تحقیقات دنباله‌داری را انجام داده است. این دانشمند در سال ۱۹۹۲ اثر پرتوهای لیزر هلیوم - نئون با طول موج ۶۳۲/۸ نانومتر و دانسیته انرژی 1 mJ/cm^2 و 5 mJ/cm^2 را بر وضعیت فراساختاری تاندونهای توتومی شده بررسی کرد. وی معتقد است ساخت کلاژن مستلزم دو دسته وقایع است: ۱- ساخت مولکولهای پروکلاژن در داخل سلول. ۲- پلی‌مریزاسیون مولکولهای پروکلاژن به فیبریلها در خارج سلول. این محقق حضور فیبریل‌های کلاژن در داخل وزیکولهای غشادار فیبروبلاستهای تاندونهای توتومی شده‌ای که تحت تابش لیزر قرار داشته‌اند را مربوط به افزایش ساخت کلاژن می‌داند و اظهار داشت که افزایش ساخت پروکلاژن نسبت به انتقال آن به فضای خارج سلولی موجب حضور این فیبریلها می‌شود (۹).

التیام ناندون برخلاف سایر بافتهای نرم که از طریق پرولیفراسیون و تشکیل بافت دانه‌دار است، وابسته به سه فرآیند مجزا ولی مرتبط به هم می‌باشد. این سه فرآیند شامل تکثیر و ازدیاد سلولی، ساخت رشته‌های کلاژن و آرایش رشته‌ها به موازات هم و در امتداد محور طولی ناندون است (۷).

در تحقیق حاضر به اثر پرتوهای لیزر کم‌توان هلیوم - نئون بر وضعیت فراساختاری سلول فیبروبلاست و میزان ساخت کلاژن پرداخته شده است.

مقایسه کیفی میکروگرافهای الکترونی گروه لیزر نشان دهنده سلولهای فیبروبلاست دوکی شکل کشیده با سیتوپلاسم وسیع و استطاله‌های طویل مشخص‌تر از گروه کنترل است. مورفولوژی این سلولها با هسته بزرگ و بوکروماتین و سیتوپلاسم سرشار از شبکه آندوپلاسمیک خشن به‌همراه دستگاه گلژی وسیع و وزیکولهای ترشحی فراوانتر در گروه تحت درمان با لیزر شاهد اوج‌گیری فیبروبلازی است. بررسیهای میکروسکوپ الکترونی مقاطع مربوط به روز ۲۱ نشان می‌دهد که بافت فیروزی ناحیه ترمیمی حاوی رشته‌های کلاژن فراوان و موازی با محور طولی تاندون هستند.

مقایسه کیفی مورفولوژی سلولهای فیبروبلاست و میدانهای مقاطع عرضی کلاژن (Cross Section Area) با توجه به میکروگرافهای الکترونی نشان می‌دهد که فیبروبلاستهای گروه لیزر با سیتوپلاسم وسیع و

References

- Barahona JF: Study of the healing process of wounds produced by Nd-YAG laser, in oral tissue. J JPN Orthop Assoc 1984; 4: 197
- Bloom and Fawcett: Textbook of Histology published by W.B. Saunders company London, Twelf, 1995, pp 3-98
- Cooper RR: Tendon and ligament Insertion. Bon Joint surg 1995; 52A: 1-20
- Junqueira and carneiro: Basic Histology. Appleton & Laneg, 8ed, 1995, pp 5-102
- Lesson TS, Lesson CR, Paparo AA: Text atlas of histology. WB Saunders company, west washington square, sixth Edition 1988
- Cribb AM, Scott JE: Tendon response to tensile stress and ultrastructural investigation of collagen: Proteoglycan interactions in stressed tendon, J Anat 1995; 187: 423-428
- Enwemeka CS: Inflammation, cellularity, and fibrillogenesis in Regenerating Tendon: Implication for



- Tendon Rehabilitation. Physical Therapy 1989; 69: 816-825
8. Abergel RP :Biostimulation of wound Healing by Lasers: Experimental Approaches in Animal Models and in fibroblast cultures. Dermatol Surg Oncol 1987; (13)2: 127-133
9. Enwemeka GS: Ultrastructural morphometry of membrane bound intracytoplasmic collagen fibrils in tendon fibroblast exposed to He:Ne laser beam. Tissue and cell 1992; 24(4): 511-523
10. Kana JS: Effect of low-power density laser radiation on Healing of open skin wounds in rats. Arch surg 1984; 116: 293-296
11. Mester E: Effect of laser Rays on wound healing. The American surg 1971; 122: 532-535
12. Mester E, Mester AF, Mester A: The biomedical effects of laser application. lasers in surgery and medicine 1985; 5: 31-39
13. Oryan A, Peyghan R, Emami MJ: The effect of activity on tendon healing. Iranian J Med Science 1993; 18(1): 13-21
14. Tang XM, Chai BP: Effect of Co₂ laser Irradiation on experimental fracture healing: a transmission electron microscopic study. Lasers in surgery and Medicine 1986; 6: 346-352
15. Yamada K: Biological effects of low power laser Irradiation on clonal osteoblastic cells. J Jpn orthop Assoc 1991; 65: 787-799
16. Kaneps AJ: Laser therapy in the horse: histopathologic response. Am J Vet Res 1984; 45: 581-583
17. Karu T: Photobiology of low-power laser effects. Health Physics 1989; 56: 691-704
18. Kreist T, Vale R: Guide book to the extracellular matrix proteins. Oxford University, New York, 1993, pp 1-93
19. Prockop DJ, Kivirikko KI: Collagens; Molecular biology, diseases, and potentials for therapy. Annu Rev Biochem 1995; 64: 403-434
20. Trygvason K: Molecular properties and diseases of collagens. Kidney Inter 1995; 47: 24-28
21. Williams PL, Warwick R, Dayson MM: Gray's Anatomy. Churchill Livingstone, 1995, pp 62-69 38ed

